

## Finite Element Simulation and Experimental Verification of HAZ Softening during Welding of Aluminum alloy 7075

M. J. Pirbarjasteh<sup>1</sup>, M. Iranmanesh<sup>1</sup>, E. Ranjbarnodeh<sup>2\*</sup>, E. Cheraghi Rizi<sup>2</sup>

<sup>1</sup>Department of Maritime Engineering, Amirkabir University of Technology, Tehran, Iran

<sup>2</sup>Department of Materials and Metallurgical Engineering, Amirkabir University of Technology, Tehran, Iran

**ABSTRACT:** The one-of-a-kind properties of series 7xxx aluminum alloys such as high strength, relatively low density, good formability, and good resistance to stress corrosion cracking have made this class of materials a good choice for aerospace, automobile, and marine industries. Watertight, low weight, and fast procedure are the reasons why welding is used in many industries. The heat that welding produces causes many problems like softening in the heat-affected zone. In this research with the use of a 3-D finite element model, the heat transfer of the Al-7075-T6 is investigated and verified by comparing them with the experimental model, and the reduction of hardness in the heat-affected zone of the aluminum was predicted with good precision. In the next step, the softening of HAZ due to welding was measured with microhardness. With the use of the FEM model kinetic of over-aging was measured. The results show hardness of the alloy has two sources i.e., age-hardening and work-hardening. It seems welding eliminates the effects of age-hardening but has no effect on the hardness that comes from work hardening. Also, the decrease in the hardness of the solution-annealed area can be recovered through proper heat treatment. However, it is unrecoverable in the over-aged area.

### Review History:

Received: Feb. 25, 2023

Revised: Sep. 04, 2023

Accepted: Oct. 03, 2023

Available Online: Nov. 01, 2023

### Keywords:

Finite element method

TIG Welding

precipitation hardening

softening

Heat-affected zone

over-ageing kinetics

### 1- Introduction

High strength, low density, good ductility, and resistance to stress corrosion cracking (SCC) have made 7000 series aluminum alloys to be considered in shipbuilding industries [1]. Aluminum alloys are aged to precipitate after dissolution heat treatment and rapid cooling. As a result of aging, microscopic particles begin to form that act as barriers in grains and grain boundaries [2]. Fu et al. [3] used three aging methods to investigate the effect of aging heat treatment on restoring the lost hardness of T6-7005 alloy; as a result, they realized that artificial aging is better than the other two modes to restore the lost hardness during welding. One of the common problems in the welding of work-hardened, heat-treatable aluminum alloys such as the 7xxx, is strength loss in the heat-affected zone (HAZ). [4]. Richardson et al. [5] plotted the hardness profile for the welded 7075 alloy in one-day and 30-day periods after welding. During welding, the hardness dropped to about 80, but the 30-day aging (natural aging) had it recovered, and the hardness increased to about 100. Finite element simulation has been employed for the examination and analysis of various aspects of welding [6,7].

So far, only a few studies have been conducted to predict the softening behavior of 7xxx aluminum alloys, which include the exceptionally strong 7075 aluminum alloy. This paper aims to examine the impact of welding heat input

on the hardness loss in this alloy and propose predictive relationships for estimating its hardness.

### 2- Materials and Methods

#### 3-

This article utilizes a 5mm thick Al-7075-T6 alloy. the original samples were welded using the variables specified in Table 1.

Cross-sections were prepared for metallography. The first set of sections underwent metallographic analysis and hardness measurements after 7 months. For the aging process, natural conditions were employed, maintaining room temperature and an air atmosphere. As for the second set of sections, they were prepared for

To predict the decrease in hardness for non-isothermal conditions, Papazian [8] used Avrami's relationship as equation (1):

$$\begin{cases} y = 1 - \exp(-k^n t^n) \\ k = k_0 \exp\left(\frac{-Q}{RT}\right) \end{cases} \quad (1)$$

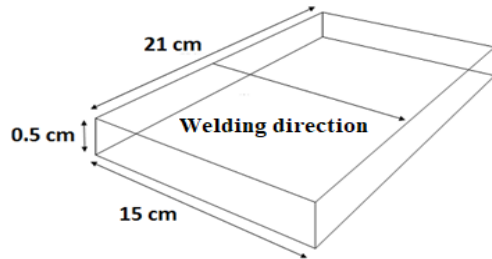
### 4- Results and Discussion

The simulated models were evaluated against real models to validate their accuracy (Figure 2).

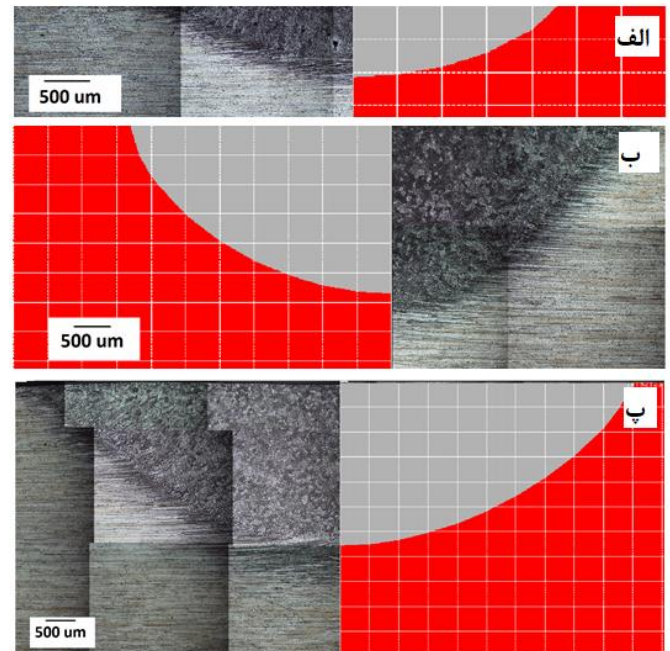
\*Corresponding author's email: Email islam\_ranjab@aut.ac.ir



Copyrights for this article are retained by the author(s) with publishing rights granted to Amirkabir University Press. The content of this article is subject to the terms and conditions of the Creative Commons Attribution 4.0 International (CC-BY-NC 4.0) License. For more information, please visit <https://www.creativecommons.org/licenses/by-nc/4.0/legalcode>.



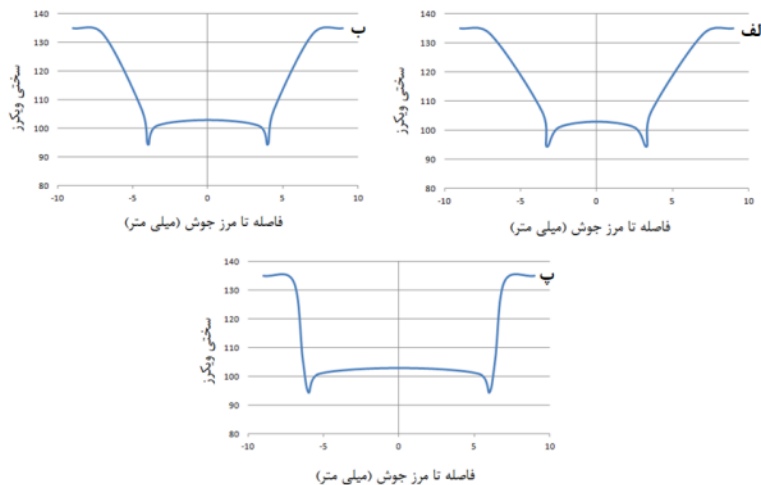
**Fig. 1. Schematic of the aluminum sheet**



**Fig. 2. Validating the finite element models using the dimensions of the weld pool**

**Table 1. Welding variables of the samples**

Sample no.	current (A)	Voltage (V)
1	160	15
2	170	15
3	190	15



**Fig. 3. Hardness according to the distance from the weld line**

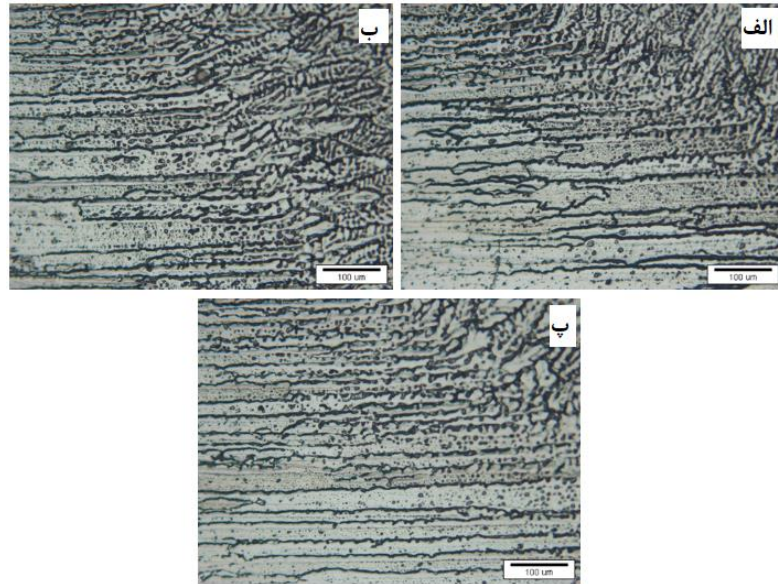
At a certain distance from the welding line of all samples, the hardness drop is more severe, which is caused by solution annealing. As shown in Figure 3, the hardness decreases as it approaches the weld line, which indicates the softening behavior of the heat-affected zone.

The hardness of the samples after 7 months indicates that the softening near the weld line has been partially compensated. However, there is still a slight difference in the hardness of the base metal (133 Vickers).

The aging percentage at each temperature is determined by equation (2):

$$y = y_1 + y_2 \times (1 - y_1) \quad (2)$$

Where  $y_1$  represents the initial aging and  $y$  corresponds to the total percentage of aging at each temperature. It should be noted that the percentage of aging in the second stage ( $y_2$ ) should be obtained from the percentage of aging in the first stage. The hardness of the alloy can be influenced by both aging and cold work. However, during welding, when exposed to the heat from the heat source, the hardness tends to decrease. This effect primarily impacts the aging process, resulting in changes, while the hardness caused by cold work can manifest as recrystallization. Figure 4 illustrates the heat-affected area of all the samples. As observed, no recrystallization occurred after welding, indicating that the impact of cold work has not diminished.



**Fig. 4. Heat-affected zone in samples**

## 5- Conclusions

- During welding, the hardness in the heat-affected area decreases, especially at higher input temperatures, leading to complete loss of hardness due to aging in all samples.
- While appropriate heat treatment can compensate for hardness drop in the solution-annealed area, restoration is not possible in the super-aged area. Artificial aging is the preferred method, but this study utilized natural aging, resulting in approximately 97% restoration of the alloy's initial hardness.
- Moving towards the weld line from the heat-affected zone boundary, the temperature range where hardness drops to the annealing condition expands.

## References

- [1] W. Jurczak, L. Kyziol, Dynamic properties of 7000-series aluminum alloys at large strain rates, Polish Maritime Research, 19(1) (2012) 38-43.
- [2] G. Fribourg, Precipitation and plasticity couplings in a 7xxx aluminium alloy: application to thermomechanical treatments for distortion correction of aerospace component, institute Polytechnique de Grenoble, (2010).
- [3] G. Fu, F. Tian, H. Wang, Studies on softening of heat-affected zone of pulsed-current GMA welded Al-Zn-Mg alloy, Journal of Materials Processing Technology, 180(1-3) (2006) 216-220.
- [4] S. Kou, Welding metallurgy, A John Wiley & Sons, New Jersey, USA, (2003).
- [5] B. Hu, I. Richardson, Hybrid laser/GMA welding aluminium alloy 7075, Welding in the World, 50(7-8) (2006) 51-57.
- [6] J. Goldak, A. Chakravarti, M. Bibby, A new finite element model for welding heat sources, Metallurgical transactions B, 15(2) (1984) 299-305.
- [7] S. Bate, R. Charles, A. Warren, Finite element analysis of a single bead-on-plate specimen using SYSWELD, International Journal of Pressure Vessels Piping, 86(1) (2009) 73-78.
- [8] J.M. Papazian, Calorimetric studies of precipitation and dissolution kinetics in aluminum alloys 2219 and 7075, Metallurgical Transactions A, 13(5) (1982) 761-769.

### HOW TO CITE THIS ARTICLE

M. J. Pirbarjasteh, M. Iranmanesh, E. Ranjbarnodeh, E. Cheraghi Rizi, Finite Element Simulation and Experimental Verification of HAZ Softening during Welding of Aluminum alloy 7075 , Amirkabir J. Mech Eng., 55(8) (2023) 209-212.

DOI: 10.22060/mej.2023.21436.7582







## شبیه‌سازی المان محدود و صحبت‌سنگی تجربی رفتار نرم‌شوندگی منطقه متأثر از حرارت آلیاژ آلمینیوم ۷۰۷۵ در جوش الکتروود تنگستن

محمدجواد پیربرجسته<sup>۱</sup>، مهدی ایرانمنش<sup>۱</sup>، اسلام رنجبرنوده<sup>۲\*</sup>، عmad چراغی ریزی<sup>۲</sup>

۱- دانشکده مهندسی دریا، دانشگاه صنعتی امیرکبیر، تهران، ایران  
۲- دانشکده مهندسی مواد و متالورژی، دانشگاه صنعتی امیرکبیر، تهران، ایران.

### تاریخچه داوری:

دریافت: ۱۴۰۱/۱۲/۰۶

بازنگری: ۱۴۰۲/۰۶/۱۳

پذیرش: ۱۴۰۲/۰۷/۱۱

ارائه آنلاین: ۱۴۰۲/۰۸/۱۰

### کلمات کلیدی:

شبیه‌سازی اجزاء محدود

جوشکاری الکتروود تنگستن

رسوب سختی

نرم‌شوندگی

منطقه متأثر از حرارت

سینتیک فراییر

**خلاصه:** خواص منحصر به فرد آلیاژهای سری ۷۰۰۰ آلمینیوم نظیر استحکام بالا، چگالی کم، شکل‌پذیری خوب و مقاومت به خوردگی تنشی باعث شده است که در صنایع هوایی، خودروسازی و کشتی‌سازی مورد توجه قرار گیرند. در این پژوهش ابتدا با استفاده از یک مدل اجزای محدود سبدی در نرم‌افزار انسیس، انتقال حرارت حين جوشکاری الکتروود تنگستن یک ورق آلمینیومی از جنس ۷۰۷۵ با خشامت ۵ میلی‌متر مورد بررسی قرار گرفت و نتایج مدل با آزمایش‌های تجربی، صحه‌گذاری گردید و سپس افت سختی در منطقه متأثر از حرارت قطعه آلمینیومی با دقت بالا پیش‌بینی شد. برای بررسی تاثیر جوشکاری بر میزان افت سختی در منطقه متأثر از حرارت، نمونه‌های جوش داده شده مورد آزمایش میکرو سختی‌سنجی قرار گرفتند. با استفاده از نتایج مدل اجزاء محدود سینتیک فراییر در نمونه‌های مختلف بررسی شد. نتایج بررسی‌ها نشان داد که مکانیزم‌های استحکام‌دهی این آلیاژ پیرسختی و کارسختی ناشی از نورد است. اینجا از پیرسازی طبیعی استفاده شد که نتیجه آن بازیابی سختی آلیاژ تا حدود ۹۷ درصد سختی اولیه آلیاژ بود. به نظر می‌رسد که جوشکاری تاثیر پیری را زین برده اما تاثیر چندانی روی کارسختی نداشته است. همچنین افت سختی در منطقه آنلیل محلولی شده با عملیات حرارتی مناسب قابل جبران است، ولی در منطقه فراییر شده قابل بازگردانی نیست.

### ۱- مقدمه

استحکام بالا، چگالی کم، شکل‌پذیری خوب و مقاومت به خوردگی تنشی<sup>۱</sup> باعث شده تا آلیاژهای سری ۷۰۰۰ آلمینیوم در صنایع هوایی، اتومبیل‌سازی و کشتی‌سازی مورد توجه قرار گیرند [۱]. استحکام این گروه آلیاژی به نسبت دیگر گروه‌های آلیاژی آلمینیوم بالاتر است. این گروه آلیاژی می‌تواند ترکیب سه‌تایی آلمینیم-روی-منیزیم و یا ترکیب چهارتایی آلمینیم-روی-منیزیم-مس باشد. آلیاژ ۷۰۷۵ با داشتن استحکام بالاتر از سری‌های ۵۰۰۰ و ۶۰۰۰ مقاومت به خوردگی موردنیویل و مقاومت به خوردگی تنشی بالاتر از دو سری مذکور، می‌تواند گزینه مناسبی برای استفاده در صنایع دریایی باشد. در حال حاضر در صنایع نظامی از این آلیاژ استفاده می‌شود.

آلیاژهای آلمینیوم پس از عملیات حرارتی انحلال و سریع سرد کردن

### 1 Stress corrosion cracking

\* نویسنده عهده‌دار مکاتبات: islam\_ranjbar@aut.ac.ir



حقوق مؤلفین به نویسنده‌گان و حقوق ناشر به انتشارات دانشگاه امیرکبیر داده شده است. این مقاله تحت لیسانس آفرینندگی مردمی (Creative Commons License) در دسترس شما قرار گرفته است. برای جزئیات این لیسانس، از آدرس <https://www.creativecommons.org/licenses/by-nc/4.0/legalcode> دیدن فرمائید.

2 Yield Stress

3 Hardness Peak

4 Under-age

5 Over-age

6 Fu

7 Step ageing

## ۲- روش تحقیق المان محدود

شبیه‌سازی اجزاء محدود فرایند جوشکاری، توانایی پیش‌بینی توزیع دما و میدان‌های تنفسی ناشی از آن را دارا است. در این پژوهش به یک مدل حرارتی نیاز است. نحوه مشبندی نمونه نیز به این صورت است که با نزدیک‌تر شدن به خط جوش، به علت افزایش گرادیان‌های حرارتی، به‌دقیت بالاتر و استفاده از المان‌های کوچک‌تر نیاز است.

سه فاکتور لازم برای مشخص کردن منبع گرما در مدل عبارت‌اند از: حرارت ورودی قوس، نحوه گستردگی این گرما و سرعت حرکت منبع گرمایی. میزان گرمایی که قطعه کار در واحد زمان دریافت می‌کند برابر است با حاصل ضرب ولتاژ (V) و شدت جریان قوس (I) در مقدار راندمان قوس (L) و از رابطه (1) محاسبه می‌شود [۴].

$$Q = \eta VI \quad (1)$$

تغییرات در متغیرهای جوشکاری مانند گاز محافظه، هندسه الکترود، طول قوس، جنس فلز پایه و قطبیت می‌تواند روی بازده جوشکاری مؤثر باشد. منابع مختلف برای بازده جوش مقادیر متفاوتی از ۰٪ تا ۸٪ پیشنهاد کرده‌اند [۸]. رابطه انرژی در یک سیستم مختصاتی متحرک از رابطه (2) محاسبه می‌شود:

$$q(z, y, t) = \frac{\gamma Q}{\pi r^2} \exp\left(-\frac{\gamma}{r^2} [(z + vt)^2 + y^2]\right) \quad (2)$$

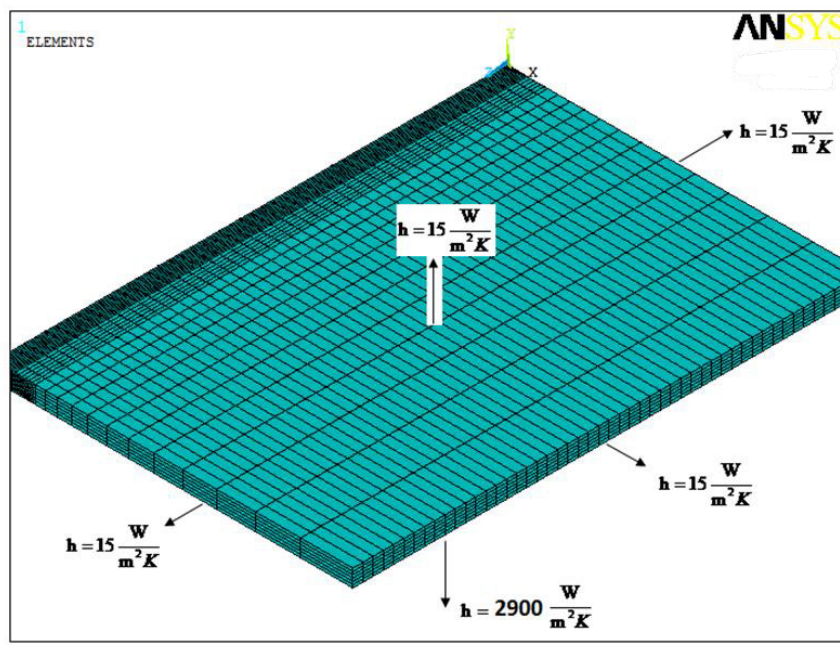
متغیر توزیع گوسی است که آن را به صورت شاع ناحیه‌ای از سطح قطعه کار که ۹۵٪ انرژی قوس وارد آن می‌شود در نظر می‌گیرند.  $z$  جهت جوشکاری و  $y$  جهت عمود بر آن و  $v$  سرعت حرکت قوس جوشکاری است. در این مدل فرض می‌شود منبع انرژی در  $t = 0$  در مبدأ مختصات قرار دارد. ضریب  $\gamma$  در رابطه (2)، در منابع مختلف اعداد گوناگونی گزارش شده است. رنجر و همکاران [۹] مقدار این ضریب را ۵٪ گزارش کرده‌اند. اکبری موسوی [۱۰] و گلداک [۱۱] مقدار ضریب را ۳٪ گزارش کرده‌اند. بنابر قرابت بیشتر موضوع حاضر با تحقیقات اکبری موسوی و گلداک، مقدار این ضریب

دما ۱۵۰ درجه سانتی‌گراد. با بررسی نتایج به دست‌آمده برای ۳ حالت مشخص شد که پیروزی مصنوعی از جهت بازگردانی سختی از دست‌رفته به هنگام جوشکاری بهتر از دو حالت دیگر است.

فرایند جوشکاری با گاز محافظه و الکترود تنگستنی برای جوشکاری آلمینیوم و آلیاژهای آن بسیار مورد استفاده قرار می‌گیرد. از مشکلات معمول در جوشکاری آلیاژهای کارسخت شده و عملیات حرارتی پذیر آلمینیوم، مثل سری ۷۰۰۰، می‌توان به افت استحکام در منطقه متأثر از حرارت اشاره کرد. راه حل این مشکل استفاده از حرارت ورودی کم و انجام عملیات حرارتی پس از جوشکاری است. درنهایت افت استحکام در منطقه متأثر از حرارت را می‌توان با عملیات حرارتی پیروزی طبیعی پس از جوشکاری تقریباً به طور کامل بازیابی کرد [۴]. ریچاردسون<sup>۱</sup> و همکاران [۵] پروفیل سختی را برای آلیاژ ۷۰۷۵ جوشکاری شده در یک روز و ۳۰ روز پس از جوشکاری رسم کردن. به هنگام جوشکاری سختی تا حدود ۸۰٪ افت کرده ولی آلیاژ پیروزونده ۷۰۷۵ بعد از گذشت ۳۰ روز (پیروزی طبیعی) افت سختی خود را ترمیم و سختی تا حدود ۱۰۰٪ بالا رفته است.

شبیه‌سازی جوشکاری به روش المان محدود برای بررسی و تحلیل مسائلی چون انتقال حرارت، تغییرات فازی در حین فرایند، تنفس‌های پسماند و آثار آنها استفاده شده است. این روش در دهه‌های اخیر با گسترش و پیشرفت نرم‌افزارهای کامپیوتری به ویژه نرم‌افزارهای المان محدود مرسوم شده است [۶]. در اوایل دهه اخیر محققان با استفاده از روش المان محدود و با انجام تحلیل‌های ترمولاستیک، به محاسبه میدان حرارتی پرداخته‌اند [۷]. در این پژوهش برای تبیین مدل توزیع جریان منبع حرارت از روش گوسین که متداول‌ترین روش تعیین توزیع دماس است، استفاده شده است.

با وجود بحث‌های گوناگون بر روند افت استحکام ناشی از جوشکاری آلیاژهای آلمینیوم، مطالعات کمی برای پیش‌بینی رفتار نرم‌شوندگی آلیاژ سری ۷۰۰۰ شده است. به همین منظور از یکی از آلیاژهای این سری که در صنعت مورد استفاده قرار می‌گیرد و دارای استحکام بالا و پیروزی شونده است برای این پژوهش استفاده شده است. آلیاژ ۷۰۷۵ آلمینیوم در بین آلیاژهای آلمینیوم جزء آلیاژهایی است که دارای بیشترین میزان استحکام است. در این پژوهش سعی شده تا تأثیر میزان حرارت ورودی جوشکاری بر افت استحکام این آلیاژ موربدیت قرار گیرد و روابطی برای پیش‌بینی میزان افت استحکام آن پیشنهاد شود.



شکل ۱. مشبندی و شرایط مرزی مورد استفاده در شبیه‌سازی

Fig. 1. Meshing and boundary conditions of the model

برای شرایط غیر همدما<sup>۱</sup>، برای پیش‌بینی افت سختی از رابطه آورامی کمک گرفت. این رابطه برای مسائل مختلف از قبیل تغییر فازها، اندازه رشد دانه‌ها و... به کار گرفته می‌شود. پاپازیان با ساده‌سازی رابطه آن را به صورت رابطه (۳) بازنویسی کرد:

$$\begin{cases} y = 1 - \exp(-k^n t^n) \\ k = k_0 \cdot \exp\left(\frac{-Q}{RT}\right) \end{cases} \quad (3)$$

در رابطه (۳)،  $Q$  انرژی اکتیواسیون،  $R$  ثابت جهانی گازها،  $T$  دما بر حسب کلوین،  $t$  زمان،  $n$  نیز ضرایب ثابتی هستند که برای هر ماده متفاوت است. خروجی این معادله درصد فراپیری است که می‌تواند میزان افت سختی را با توجه به دما و زمان مربوطه به دست آورد. پاپازیان برای مقادیر ثابت این معادله برای آلیاژ ۷۰۷۵ مقادیر زیر را محاسبه کرد:

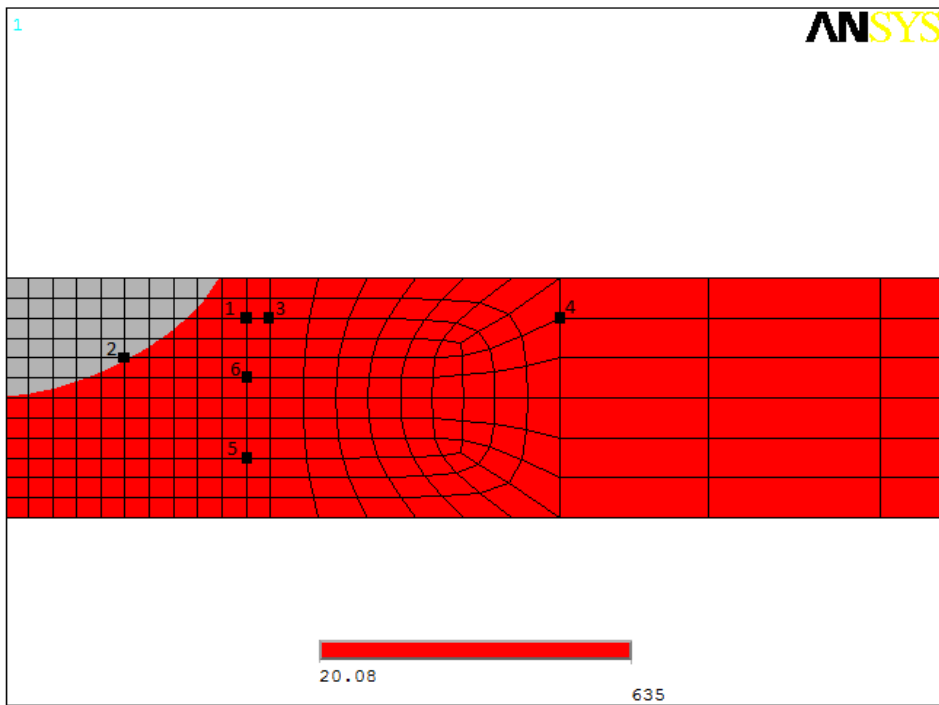
برای این پژوهش برابر ۳ در نظر گرفته شد. انتقال حرارت به دست آمده برای تبادل حرارت جوش با هوای آزاد و گاز محافظ در اندازه‌گیری‌های مختلف مقادیری بین  $W/m^2K$  ۱۵ الی ۵۰ گزارش شده است.

به دلیل تقارن موجود در مدل نصف مدل در نرم‌افزار المان محدود انسیس<sup>۲</sup> شبیه‌سازی شد. برای تحلیل حرارتی سه‌بعدی، المان سالید<sup>۳</sup> بکار گرفته شد. در ادامه از آنجاکه امکان اعمال مستقیم شار حرارتی گوسین بر روی المان سالید ۷۰ وجود ندارد، بعد از شبکه‌بندی سه‌بعدی، سطوح خارجی این المان‌ها انتخاب و بر روی آن‌ها المان‌های سطحی سرف<sup>۴</sup> ۱۵۲۳ ایجاد گردید.

### ۳- پیش‌بینی سختی

مدل‌های مختلفی برای این منظور پیشنهاد شده است. پاپازیان<sup>۵</sup> [۱۲]

- |   |          |
|---|----------|
| 1 | Ansys    |
| 2 | Solid70  |
| 3 | Surf152  |
| 4 | Papazian |



شکل ۲. گره‌های انتخابی برای نمونه سوم

Fig. 2. selected nodes in sample no. 3

۱۵×۳۱ سانتی‌متر تهیه شد. سطح نمونه‌ها برای جوشکاری با برس سیمی و سنباده تمیز شدند.

بعد از آزمایش‌های اولیه با بدست‌آوردن شرایط ایده‌آل جوشکاری (سرعت بهینه، دبی گاز مناسب، قطر الکترود، طول قوس مناسب و...) جوشکاری روی نمونه‌های اصلی با متغیرهای جدول ۲ انجام شد.

بعد از اتمام جوشکاری تمامی نمونه‌ها برای مقطع زدن آماده شدند. مقاطع هر نمونه باید در مکانی یکسان باشد تا نتایج قابل مقایسه با یکدیگر باشند. برای مقطع زدن بهتر است از روش‌های فیزیکی مانند گیوتین و قیچی استفاده شود چراکه در روش‌هایی که با گرمای ورق بریده می‌شود مقداری گرمای اضافه به ورق وارد می‌شود که ناخواسته روی نتایج تأثیر می‌گذارد. نمونه‌ها بعد از مقطع زنی (از دو مکان ورق جوشکاری شده) و آماده متالوگرافی شدند. دو مقطع در فاصله‌های ۵ و ۱۰ سانتی‌متری ابتدای جوش زده شد. مقطع اول بعد از ۷ ماه متالوگرافی و سختی‌سنجی شدند. فرایند پرسازی به صورت طبیعی و در دمای اتاق و اتمسفر هوا انجام شد. مقطع دوم بعد از ۷ روز آماده متالوگرافی شدند.

$$\left\{ \begin{array}{l} Q = 123 \left( \frac{Kj}{mol} \right) \\ k_0 = 1.55 \times 10^{14} \left( s^{-1} \right) \\ n = 1.5 \end{array} \right.$$

نمودار دما - زمان برای گره‌های مشخص شده در شکل ۲ برای نمونه سوم استخراج شدند. گره‌های انتخاب شده از مکان‌های مختلف باسابقه دمایی متفاوت انتخاب شدند.

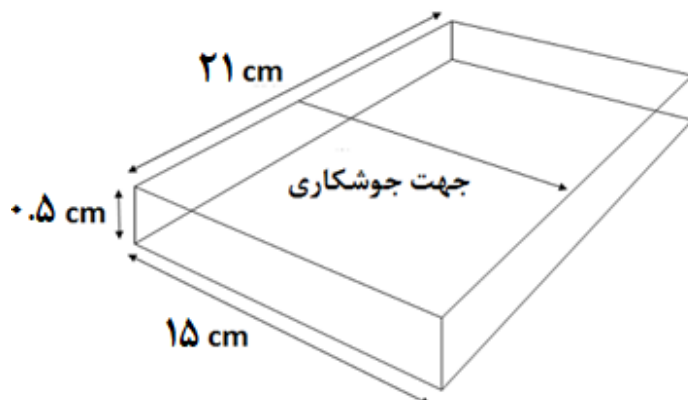
#### ۴- مواد و روش‌ها

آلیاژ مورداستفاده در این مقاله آلومینیم ۷۰۷۵ به ضخامت ۵ میلی‌متر است. ترکیب شیمیایی این آلیاژ به صورت جدول ۱ است: سختی‌سنجی آلیاژ پیش از جوشکاری با دستگاه میکرو سختی ویکرز انجام شد و ویکرز به دست آمد. از ورق اصلی نمونه‌هایی به ابعاد

### جدول ۱. ترکیب آلیاژ ۷۰۷۵ بدست آمده با آزمایش کوانتمتری

Table 1. Chemical composition of 7075 aluminum obtained by spark emission spectroscopy

آلومینیم	روی	منیزیم	مس	نیکل	کرم	منگنز
مابقی	۵,۲۹	۲,۱۹	۱,۵۲	۰,۰۰۶۴	۰,۱۹۷	۰,۱۷۴
زنگنه وانادیم	۰,۰۰۴۴	۰,۰۰۵۱	۰,۰۵۹۸	۰,۰۱۳۶	۰,۰۰۰۱۹	۰,۰۰۱۴
زیرکونیم	۰,۰۰۵۱	۰,۰۵۹۸	۰,۰۱۳۶	۰,۰۰۰۱۹	۰,۰۰۲۸	<۰,۰۰۰۵



شکل ۳. مدل ورق آلومینیمی جوشکاری شده

Fig. 3. Schematic of the welded aluminum sheet

### جدول ۲. متغیرهای جوشکاری نمونه‌های مختلف

Table 2. Welding variables of the samples

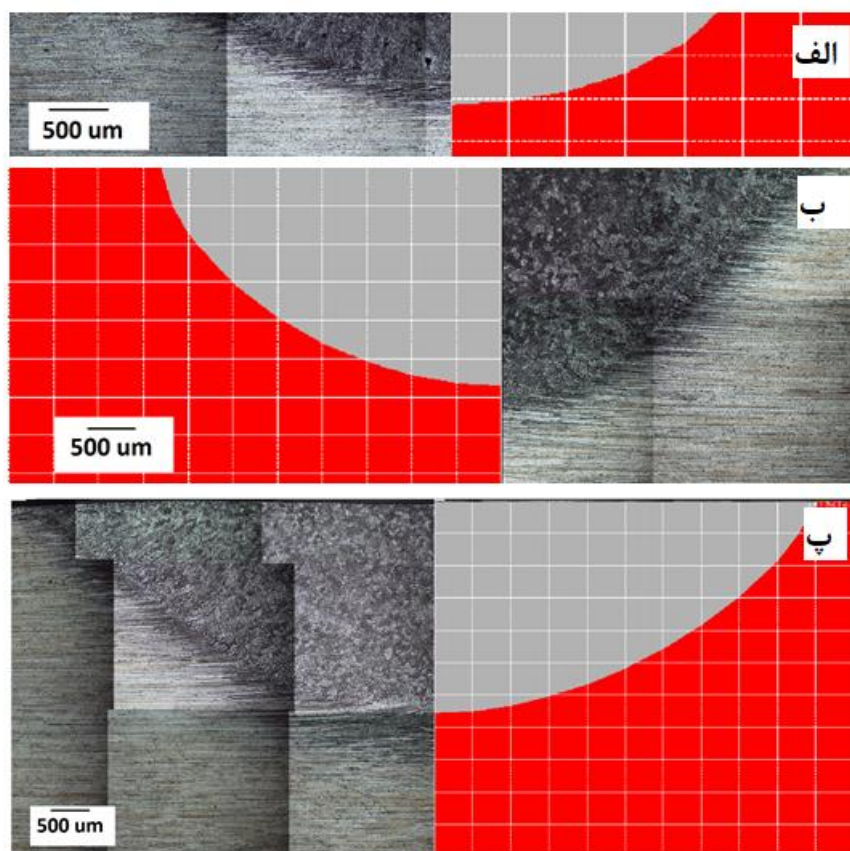
سرعت (mm/s)	دبی گاز (Lit/min)	ولتاژ جوشکاری (V)	جریان جوشکاری (A)	نمونه
۲	۵	۱۵	۱۶۰	۱
۲	۵	۱۵	۱۷۰	۲
۲	۵	۱۵	۱۹۰	۳

اختلاف بین مدل‌های تجربی و شبیه‌سازی را می‌توان نتیجه دسترسی

به خواص ترموفیزیکی دقیق ماده در دماهای بالا و وابستگی آن‌ها به دما دانست. عدم شبیه‌سازی حرکت سیال نیز می‌تواند مورد دیگری بر اختلاف این دو مقدار باشد. کالیبره نبودن دستگاه‌های مورداستفاده در جوشکاری و عدم نشان‌دادن صحیح متغیرهای جوشکاری نیز دلیل دیگری برای این اختلاف است. با توجه به مسائل گفته شده و درصد خطای زیر ده درصد بین مدل واقعی و نمونه شبیه‌سازی شده آن صحت مدل تأیید می‌شود.

### ۵- نتایج و بحث

۵-۱- صحة‌گذاری مدل شبیه‌سازی شده با شرایط تجربی تمامی مدل‌های شبیه‌سازی شده با مدل‌های واقعی برای صحة‌گذاری مدل شبیه‌سازی مورد مقایسه قرار گرفتند. شکل ۴ مقایسه حوضچه جوش برای هر مدل شبیه‌سازی با نمونه واقعی آن است. در این روش تجربی سعی شده تا تمام پارامترها، قیدها، شرایط مرزی و سایر عوامل موثر لحاظ گردد. خطای در ابعاد واقعی جوش با ابعاد حاصل از شبیه‌سازی برای تمامی نمونه‌های آزمایش در جدول ۳ نمایش داده شده است.



شکل ۴. صحه‌گذاری مدل: الف) نمونه اول ( $I=160A$ ), ب) نمونه دوم ( $I=160A$ ), پ) نمونه سوم ( $I=190A$ )

Fig. 4. Validating the finite element models: a) sample no. 1 ( $I=160A$ ), b) sample no. 2 ( $I=170A$ ), c) sample no. 3 ( $I=190A$ )

جدول ۳. مقایسه نتایج تجربی و شبیه‌سازی

Table 3. Comparison of experimental and numerical results

ردیف	اختلاف		مدل شبیه‌سازی				مدل تجربی			
	عرض حوضچه (میلی‌متر)	عمق حوضچه (٪)	عرض حوضچه (میلی‌متر)	عمق حوضچه (میلی‌متر)	عرض حوضچه (میلی‌متر)	عمق حوضچه (میلی‌متر)	عرض حوضچه (میلی‌متر)	عمق حوضچه (میلی‌متر)	عرض حوضچه (میلی‌متر)	
۱	۹,۲۱	۷,۹۸	۰,۸۳	۴,۵۰	۰,۷۶	۴,۸۹	۴,۸۹	۰,۷۶	۴,۸۹	
۲	۸,۹۱	۸,۷۰	۲,۲۹	۷,۵۰	۲,۵۸	۶,۹۰	۶,۹۰	۲,۵۸	۶,۹۰	
۳	۷,۰۶	۴,۴۵	۲,۵	۱۰,۱۰	۲,۶۹	۱۰,۵۷	۱۰,۵۷	۲,۶۹	۱۰,۵۷	

## جدول ۴. پروفیل سختی تمام نمونه‌ها

Table 4. Hardness profile of samples

نمونه	فلز جوش					
	فاصله عرضی از خط جوش (mm)					
۱	۷	۳۶	۲/۳	۲/۵	۰	فاصله عرضی از خط جوش (mm)
	۱۲۳	۱۰۶/۵	۹۴/۵	۱۰۱	۱۰۳	سختی ویکرز <sup>۱</sup>
۲	۷	۴/۴	۴	۳/۴	۰	فاصله عرضی از خط جوش (mm)
	۱۲۳	۱۱۸	۹۸/۷	۱۱۰	۱۱۷	سختی ویکرز
۳	۷	۶/۴	۶	۵/۳	۰	فاصله عرضی از خط جوش (mm)
	۱۲۳	۱۰۷/۵	۹۴/۹	۱۱۰	۱۲۲	سختی ویکرز

<sup>۱</sup> Hardness Vickers (HV)

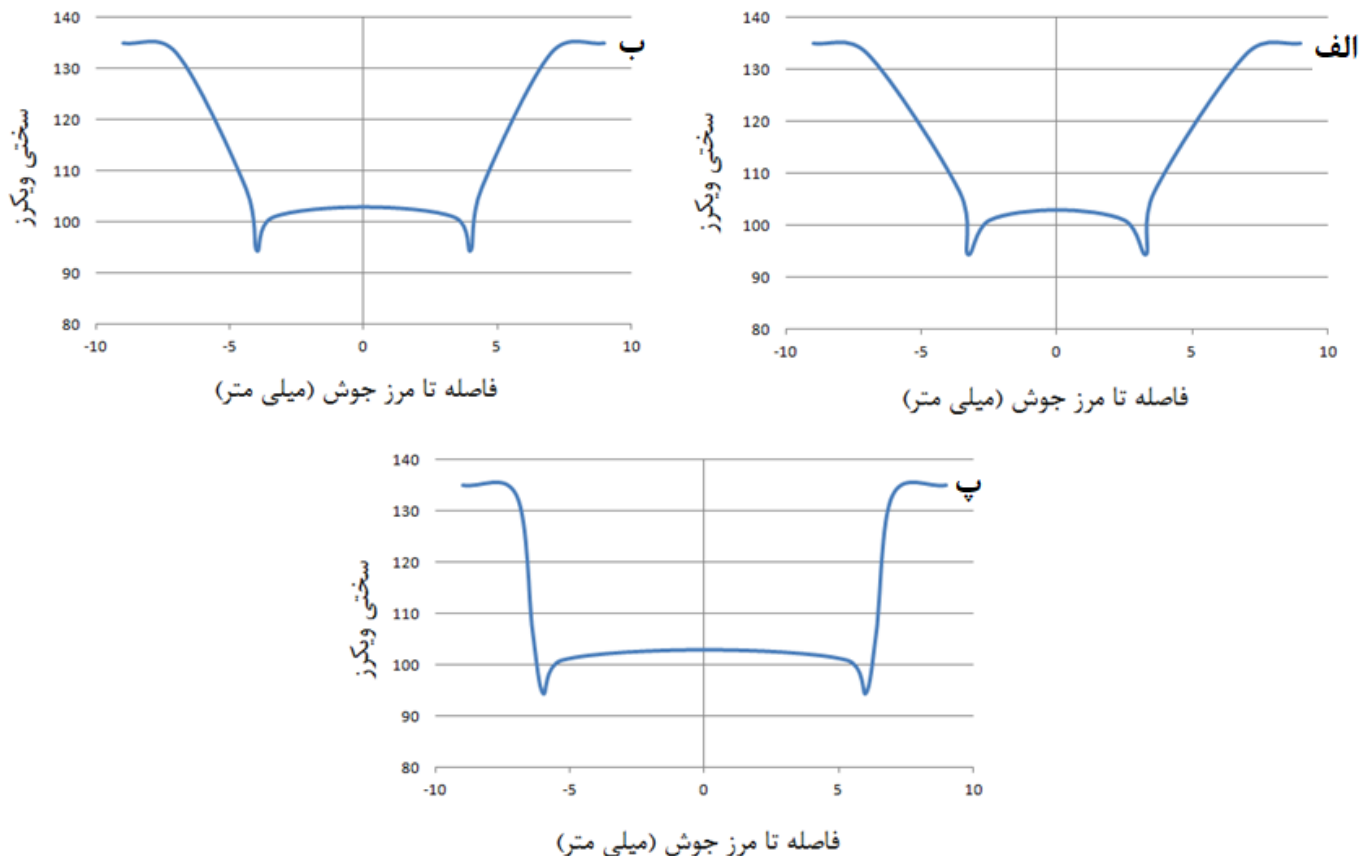
## جدول ۵. سختی نمونه‌ها با گذشت ۷ ماه از جوشکاری

Table 5. Hardness of the samples 7 months after welding.

نمونه	فاصله عرضی از خط جوش (mm)		
۱	۳/۳	۰	فاصله عرضی از خط جوش (mm)
	۱۳۰	۱۲۶	سختی ویکرز
۲	۴	۰	فاصله عرضی از خط جوش (mm)
	۱۳۰	۱۲۷	سختی ویکرز
۳	۶	۰	فاصله عرضی از خط جوش (mm)
	۱۳۰	۱۳۰	سختی ویکرز

محلولی شده و فلز پایه، منطقه فراپیر شده قرار دارد که سختی افت پیدا کرده در این ناحیه قابل بازیابی با عملیات حرارتی و پیرسازی نیست. همانطور که در شکل ۵ مشخص است، با نزدیکشدن به خط جوش، سختی افت می‌کند که نشان دهنده رفتار نرم‌شوندگی منطقه متأثر از حرارت است. حرارت ناشی از جوشکاری باعث عملیات حرارتی در آلیاژ می‌شود و افت سختی را در پی دارد. با افزایش شدت جریان جوشکاری، حرارت ورودی به قطعه افزایش می‌یابد و عملیات حرارتی در منطقه وسیع‌تری اتفاق می‌افتد. اثر این پدیده با مقایسه شکل‌های ۵-الف (۱۶۰ آمپر) و ۵-پ (۱۹۰ آمپر) مبرهن می‌شود. سختی نمونه‌ها پس از گذشت ۷ ماه، نشان ازین دارد که نرم‌شوندگی مجاور خط جوش تا حدی جبران شده است. اما هنوز از سختی فلز پایه (۱۲۳ ویکرز) کمی فاصله دارد. در حالی که با فاصله گرفتن از خط جوش، سختی نمونه افزایش یافته و به سختی فلز پایه نزدیک‌تر شده است. پس از هفت ماه دیگر نرم‌شوندگی شدید منطقه متأثر از حرارت دیده نمی‌شود. این پدیده

۲-۵- سختی پروفیل سختی برای تمامی نمونه‌ها به شرح جدول ۴ است: با بدستآوردن سختی نمونه‌ها می‌توان نمودار سختی بر حسب فاصله از خط جوش را برای نمونه‌ها رسم کرد. همان‌طور که گفته شد آلیاژ ۷۰۷۵ از سری آلیاژهای پیرسخت شونده الومینیوم است. اشاره شد که به هنگام جوشکاری شاهد افت سختی در قطعه جوشکاری شده خواهیم بود. افت سختی در این آلیاژها به دو صورت رخ می‌دهد؛ در ناحیه نزدیک به مرز ذوب، افت سختی به دلیل آنیل محلولی داریم. این افت سختی با عملیات پیرسازی قابل جبران است و به سختی قبل قابل بازگشت است. برای بررسی صحبت این موضوع بعد از گذشت ۷ ماه از جوشکاری، از نمونه‌ها آزمون سختی گرفته شد. در جدول ۵ نتایج آن مشاهده می‌شود. در فاصله‌ای مشخص از خط جوش همه نمونه‌ها، افت سختی شدت بیشتری دارد که افت سختی ناشی از آنیل محلولی است. بین ناحیه آنیل



شکل ۵. سختی بر حسب فاصله از خط جوش: a) نمونه اول (I=160A)، b) نمونه دوم (I=170A)، c) نمونه سوم (I=190A)

**Fig. 5. Hardness according to the distance from the weld line: a) sample no. 1 (I=160A), b) sample no. 2 (I=170A), c) sample no. 3 (I=190A)**

برای این منظور از نرم‌افزار متلب کمک گرفته شد. رابطه به دست آمده برای تقریب نمودارهای دما - زمان به صورت رابطه (۴) است:

$$T = a_1 \cdot \exp\left(-\left(\frac{t - b_1}{c_1}\right)^2\right) + a_2 \cdot \exp\left(-\left(\frac{t - b_2}{c_2}\right)^2\right) + \dots + a_n \cdot \exp\left(-\left(\frac{t - b_n}{c_n}\right)^2\right) \quad (4)$$

نشان می‌دهد که نرم‌شوندگی در منطقه متأثر از حرارت از نوع آنیل محلولی بوده و جبران شده است. اما نرم‌شوندگی در مجاورت خط جوش ترکیبی از دو مکانیزم آنیل محلولی و کارسختی است که نرم‌شوندگی کارسختی جبران نشده و باعث شده سختی این ناحیه از سختی فلز پایه فاصله بیشتری داشته باشد.

### ۳-۵- پیش‌بینی افت سختی

پس از استخراج نمودار دما زمان برای گره‌های مختلف و رسم آن در نرم‌افزار متلب<sup>۱</sup>، رابطه‌ای برای تقریب‌زدن نمودار دما - زمان استخراج شد.

نشده و می‌توان نتیجه گرفت تاثیر کار سرد از بین نرفته است. برای گره شماره ۳ (گره موجود در منطقه متأثر از حرارت) نمودار درصد سختی - دما در شکل ۶ آورده شده است. این نمودار بیان می‌کند که سختی آلیاژ بعد از جوشکاری در این منطقه به طور کامل از بین رفته و به سختی مقدار آنیل آلیاژ (۶۰ ویکرز) رسیده است. از نتایج سختی‌سنجدی در جدول در منطقه متأثر از حرارت برای نمونه سوم سختی آلیاژ عدد ۹۴۹ ویکرز خوانده می‌شود. این سختی طبق محاسبات باید به مقدار ۶۰ می‌رسید. علت این اختلاف در از بین نرفتن سختی حاصل از کار سرد آلیاژ می‌باشد. می‌توان نتیجه گرفت سختی حاصل از پرسختی به طور کامل بعد از جوشکاری در این گره از بین رفته ولی سختی حاصل از کار سرد دچار افت نشده است.

## ۶- نتیجه‌گیری

در این پژوهش از روش اجزای محدود به منظور شبیه‌سازی فرایند جوشکاری به صورت سه‌بعدی استفاده شد. نمودارهای دما - زمان برای نقاط مختلف نمونه‌ها استخراج شد و با استفاده از معادلات آورامی درصد فراپیری و مقدار سختی بعد از جوشکاری قابل پیش‌بینی است. همچنین تأثیر میزان حرارت ورودی جوشکاری بر افت استحکام آلیاژ سری ۷۰۰۰ موربدبخت قرار گرفت و روابطی برای پیش‌بینی میزان افت استحکام آن پیشنهاد شد به هنگام جوشکاری شاهد افت سختی در منطقه متأثر از حرارت هستیم. این افت سختی با بالارفتن حرارت ورودی بیشتر است و در منطقه متأثر از حرارت تمامی نمونه‌ها سختی ناشی از پرسازی کاملاً از بین رفت. افت سختی در منطقه آنیل محلول شده با عملیات حرارتی مناسب قابل جبران است، ولی در منطقه فراپیر شده قابل بازگردانی نیست. بهترین مدل پرسازی برای این منظور پرسازی مصنوعی است. در این پژوهش از پرسازی طبیعی استفاده شد که نتیجه آن بازیابی سختی آلیاژ تا حدود ۹۷ درصد سختی اولیه آلیاژ بود.

با نزدیک شدن از مرز منطقه متأثر از حرارت به خط جوش، منطقه دمایی که در آن سختی تا سختی شرایط آنیل افت می‌کند، گستردگی شود. این منطقه دمایی برای گره شماره ۶ در مرز منطقه متأثر از حرارت از ۳۶۸ درجه سانتی‌گراد تا ۴۷۸ درجه سانتی‌گراد و برای گره ۲ در مرز حوضچه مذاب از ۳۸۰ تا ۵۲۳ درجه سانتی‌گراد است.

در رابطه ۴ مقادیر  $a, b, c$  توسط نرم‌افزار متلب برای هر گره به دست می‌آیند.

نمودار دما - زمان برای گره‌های منتخب از شبیه‌سازی نمونه سوم استخراج شدند. گره‌های منتخب شده از مکان‌های مختلف باسابقه دمایی متفاوت انتخاب شدند. به عنوان مثال گره شماره ۲ در مرز جوش و گره‌های ۱ و ۳ در منطقه متأثر از حرارت و گره ۴ در فلز پایه انتخاب شده‌اند.

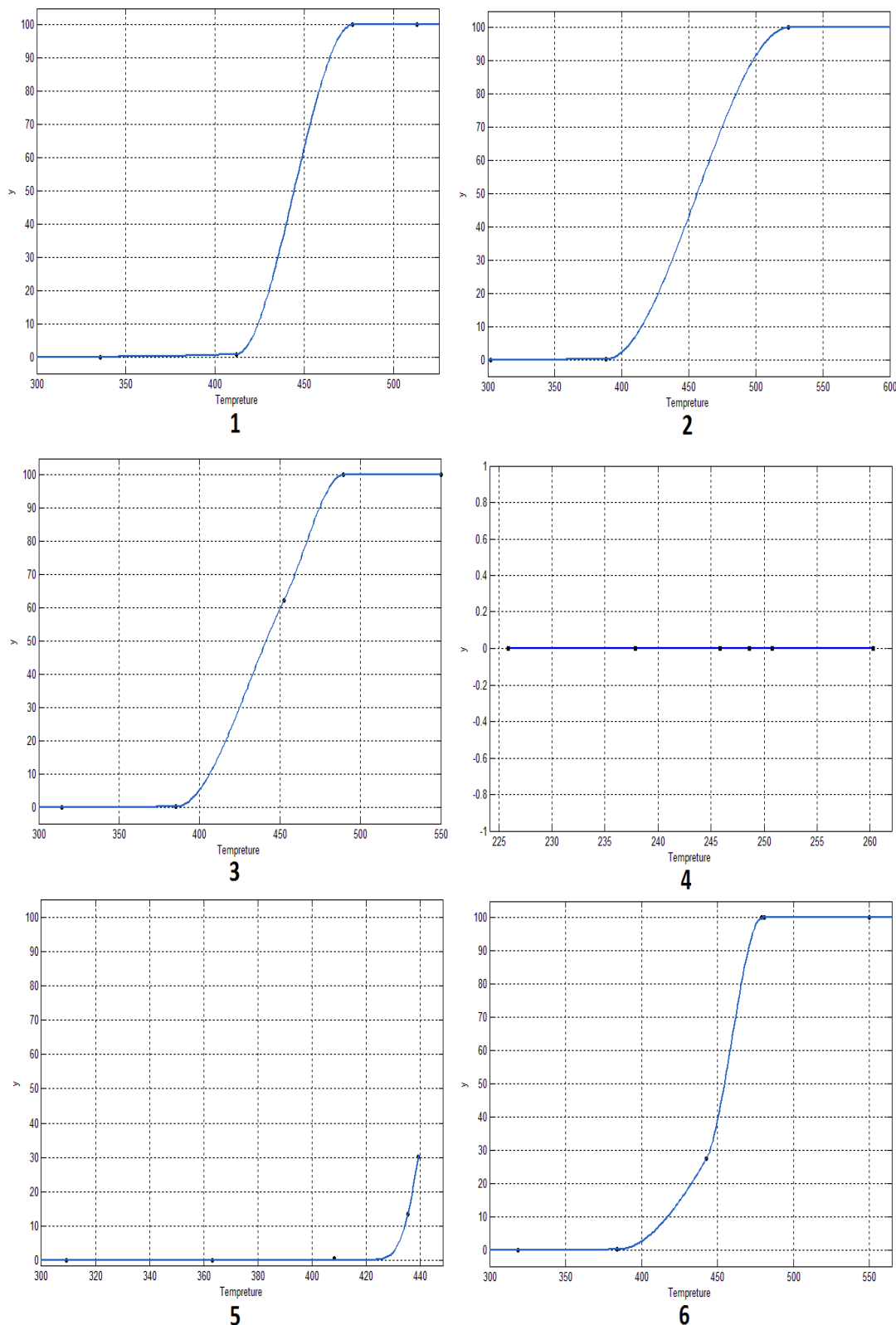
درصد فراپیری در هر دما برابر مقدار به دست آمده از رابطه (۵) است:

$$y = y_1 + y_2 \times (1 - y_1) \quad (5)$$

که در آن  $y_1$  فراپیری اولیه و  $y_2$  مقدار مجموع درصد فراپیری در دمای مربوطه است. باید به این نکته توجه کرد که درصد فراپیری در مرحله دوم ( $y_2$ ) باید از درصد فراپیری مرحله اول به دست آید. اگر  $y_1 = 0$  باشد، به این معناست که مقدار سختی آلیاژ افت نکرده و برابر مقدار آن برای فلز پایه است. اگر  $y_1 = 100$  باشد، به این معناست که سختی آلیاژ ۱۰۰ درصد افت کرده و برابر مقدار سختی آلیاژ در شرایط آنیل است. برای آلیاژ مورد آزمایش میزان سختی شرایط اولیه برابر ۱۳۳ ویکرز و مقدار سختی آلیاژ ۷۰۷۵ در شرایط آنیل برابر ۶۰ ویکرز است.

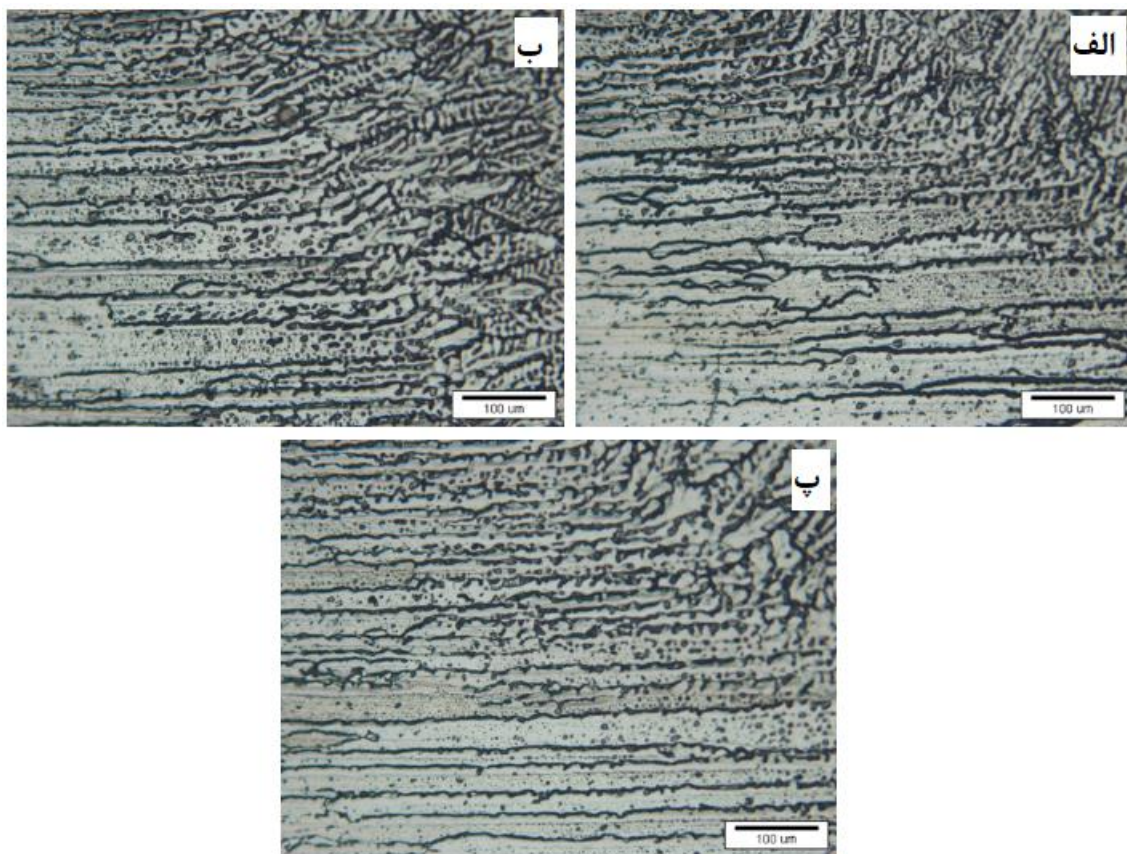
همان‌طور که در شکل ۶ مشاهده می‌شود، گره ۴ دچار افت سختی نشده است. علت این امر دور بودن گره ۴ نسبت به منبع حرارت جوشکاری می‌باشد. گره ۵ به میزان ۳۰ درصد فراپیر شده است. این گره در محدوده‌ای قرار دارد که دمای منبع حرارتی روی آن تأثیر می‌گذارد ولی به اندازه‌ای نیست که سختی آن به طور کامل افت پیدا کند. بقیه گره‌ها به طور کامل فراپیر شده‌اند (درصد فراپیری در نمودار ۱۰۰ درصد می‌باشد) و سختی ناشی از پرسازی آنها به طور کامل از بین رفته است.

سختی آلیاژ می‌تواند ناشی از پرسختی و کار سرد باشد. به هنگام جوشکاری و تحت تاثیر حرارت ناشی از منبع حرارتی، سختی می‌تواند افت پیدا کند. تأثیر این امر بر پرسختی به صورت فراپیری و بر سختی ناشی از کار سرد به صورت تبلور مجدد خواهد بود. تبلور مجدد را می‌توان با عکس‌های متالوگرافی تشخیص داد. شکل ۷ الف-پ با میکروسکوپ نوری تهییه شده‌اند. در شکل منطقه متأثر از حرارت تمامی نمونه‌ها آورده شده است و همان‌طور که دیده می‌شود پس از جوشکاری قطعه دچار تبلور مجدد



شکل ۶. نمودار درصد فراییری - دما برای گرههای انتخابی نمونه سوم ( $I=190A$ )

Fig. 6. Overaging percentage according to the temperature for the selected nodes in sample no. 3 ( $I=190A$ )



شکل ۷. منطقه متأثر از حرارت: الف) نمونه اول ( $I=170A$ ), ب) نمونه دوم ( $I=160A$ ), پ) نمونه سوم ( $I=190A$ )

**Fig. 7. Heat-affected zone in samples: a) sample no. 1 ( $I=160A$ ), b) sample no. 2 ( $I=170A$ ), c) sample no. 3 ( $I=190A$ )**

Jersey, USA, (2003).

- [5] B. Hu, I. Richardson, Hybrid laser/GMA welding aluminium alloy 7075, *Welding in the World*, 50(7-8) (2006) 51-57.
- [6] J. Goldak, A. Chakravarti, M. Bibby, A new finite element model for welding heat sources, *Metallurgical transactions B*, 15(2) (1984) 299-305.
- [7] S. Bate, R. Charles, A. Warren, Finite element analysis of a single bead-on-plate specimen using SYSWELD, *International Journal of Pressure Vessels Piping*, 86(1) (2009) 73-78.
- [8] A. Farzadi, S. Serajzadeh, A. Kokabi, Modeling of heat transfer and fluid flow during gas tungsten arc welding

## منابع

- [1] W. Jurczak, L. Kyziol, Dynamic properties of 7000-series aluminum alloys at large strain rates, *Polish Maritime Research*, 19(1) (2012) 38-43.
- [2] G. Fribourg, Precipitation and plasticity couplings in a 7xxx aluminium alloy: application to thermomechanical treatments for distortion correction of aerospace component, *institute polytechnique de Grenoble*, (2010).
- [3] G. Fu, F. Tian, H. Wang, Studies on softening of heat-affected zone of pulsed-current GMA welded Al-Zn-Mg alloy, *Journal of Materials Processing Technology*, 180(1-3) (2006) 216-220.
- [4] S. Kou, *Welding metallurgy*, A John Wiley & Sons, New Jersey, USA, (2003).

numerical analyses of residual stress distributions in TIG welding process for 304L stainless steel, Journal of Materials Processing Technology, 208(1-3) (2008) 383-394.

[11] G.J. A., A. M., Computational Welding Mechanics, Springer Science, New York, USA, 2005.

[12] J.M. Papazian, Calorimetric studies of precipitation and dissolution kinetics in aluminum alloys 2219 and 7075, Metallurgical Transactions A, 13(5) (1982) 761-769.

of commercial pure aluminum, The International Journal of Advanced Manufacturing Technology, 38(3-4) (2008) 258-267.

[9] E. Ranjbarnodeh, S. Serajzadeh, A.H. Kokabi, S. Hanke, A. Fischer, Finite element modeling of the effect of heat input on residual stresses in dissimilar joints, The International Journal of Advanced Manufacturing Technology, 55(5-8) (2011) 649-656.

[10] S.A. Mousavi, R. Miresmaeli, Experimental and

چگونه به این مقاله ارجاع دهیم

M. J. Pirbarjasteh, M. Iranmanesh, E. Ranjbarnodeh, E. Cheraghi Rizi, Finite Element Simulation and Experimental Verification of HAZ Softening during Welding of Aluminum alloy 7075, Amirkabir J. Mech Eng., 55(8) (2023) 1009-1020.

DOI: [10.22060/mej.2023.21436.7582](https://doi.org/10.22060/mej.2023.21436.7582)

